

Notes on the complexity of coverings for Kronecker powers of symmetric matrices

Igor S. Sergeev*

Abstract

In the present note, we study a new method of constructing efficient coverings for Kronecker powers of matrices, recently proposed by J. Alman, Y. Guan, A. Padaki [1]. We provide an alternative proof for the case of symmetric matrices in a stronger form. As a consequence, the previously known upper bound on the depth-2 additive complexity of the boolean $N \times N$ Kneser-Sierpinski matrices is improved to $O(N^{1.251})$. This work can be viewed as a supplement to [3].

1 Introduction

Let us recall necessary concepts. See [3] for a more detailed introduction to the subject.

A *rectangle* of size $a \times b$ is an all-1s matrix with a rows and b columns. Further, depending on the context, sometimes under rectangle we will understand a rank-1 matrix, i.e. consisting of an all-1s submatrix and all 0s in other entries.

We define the *complexity*¹ of an $a \times b$ rectangle R as the sum of lengths of its two sides, $w(R) = a + b$. We introduce the characteristic of the narrowness of a rectangle as the ratio of the lengths of its larger and smaller sides, $\rho(R) = \frac{\max(a,b)}{\min(a,b)}$. The *spectral weight* of a rectangle is defined as $\sigma(R) = \sqrt{ab}$.

A set $F = \{R_1, \dots, R_k\}$ of rectangles is a *covering* of a boolean matrix A , if

$$A = R_1 + \dots + R_k. \quad (1)$$

(Here under R_i we mean rank-1 matrices.) If the operation “+” in (1) is an integer addition, then F is called **SUM**-covering. If “+” is a disjunction, then

*e-mail: isserg@gmail.com

¹In [3], we used a term *weight* instead. Here we substitute it with complexity to avoid confusing with the spectral weight of a rectangle.

F is called **OR**-covering. In the case when “+” is a mod 2 addition, then we have an **XOR**-covering.

The complexity of a covering F is defined as $w(F) = w(R_1) + \dots + w(R_k)$, and the spectral weight as $\sigma(F) = \sigma(R_1) + \dots + \sigma(R_k)$. The **L-complexity** of a matrix A is defined for $L \in \{\text{SUM, OR, XOR}\}$ as the minimal complexity of its L -covering, denoted by $L_2(A)$ (it means the complexity of computation of A by depth-2 linear circuits of the corresponding type).

► These notions may be extended to the case of matrices over an arbitrary semiring S . A rectangle over S is a matrix $(c_1, \dots, c_a)^T \cdot (d_1, \dots, d_b)$, where $c_i, d_j \in S \setminus \{0\}$. A covering of a matrix is conditioned by

$$A = e_1 R_1 + \dots + e_k R_k, \quad e_i \in S.$$

The results presented below may be applied also to the analogously defined measure of complexity of computation of matrices by algebraic linear circuits of depth 2. ◀

Let $\sigma(A)$ denote the minimal spectral weight of a matrix A . Since $w(R) \geq 2\sigma(R)$ for any rectangle R , spectral weight serves as a simple lower bound for complexity²: $L_2(A) \succeq \sigma(A)$.

A convenient property of the spectral weight is its multiplicativity with respect to the Kronecker product. Recall that the *Kronecker product* of boolean matrices A, B is a matrix $A \otimes B$ obtained by replacing 1-entries of A by copies of B , and 0-entries by all-0s matrices of the same size.

Note that if F and G are coverings of matrices A and B , then $F \otimes G$ is a covering³ of $A \otimes B$, and $\sigma(F \otimes G) = \sigma(F)\sigma(G)$. In particular, if we construct a covering of a matrix $A^{\otimes n}$ (a Kronecker power of A) by the product-of-coverings method above using appropriate coverings of A , then the complexity of a resulting covering H satisfies $w(H) \succeq \sigma(H) \succeq \sigma^n(A)$.

In [1], the authors actually pose a question: can we obtain upper bounds like $L_2(A^{\otimes n}) \preceq \sigma^{n+o(n)}(A)$ or at least $L_2(A^{\otimes n}) \preceq \sigma^{n+o(n)}(F)$ for some appropriate coverings F of a matrix A . In general, it is not possible, just consider an example $A = \begin{bmatrix} 1 & 1 \\ 0 & 0 \end{bmatrix}$.

A general obstacle for the desired bounds is the growing narrowness of the covering rectangles. Note that the complexity and the spectral weight of a rectangle R are related as⁴ $w(R) \asymp \sqrt{\rho(R)}\sigma(R)$. Nevertheless, under some conditions, the authors of [1] were able to overcome the indicated obstacle

²Here and below, symbols \asymp, \prec, \preceq denote the equality, strict and non-strict inequalities on the order of growth.

³The Kronecker product of sets of matrices is $F \otimes G = \{R \otimes R' \mid R \in F, R' \in G\}$.

⁴To be precise, $w(R) = \left(\sqrt{\rho(R)} + \sqrt{1/\rho(R)}\right)\sigma(R)$.

and to derive the desired bounds. The first situation is when the covering F satisfies some asymmetry criteria, the second one is when the matrix A is symmetric, and the covering F is one-sided (it means that all rectangles are stretched in the same direction).

Perhaps, the most challenging object (among boolean matrices) to apply the theory are the Kneser–Sierpinski (or disjointness) matrices. Recall that the boolean $N \times N$ *Kneser–Sierpinski matrix* D_N is defined for $N = 2^n$ as follows. Rows and columns of D_N are labeled by distinct subsets $u \in [n]$, and $D[u, v] = 1$ iff $u \cap v = \emptyset$. A matrix D_N also may be viewed as a Kronecker product

$$D_N = D_2^{\otimes n} = \underbrace{D_2 \otimes \dots \otimes D_2}_n, \quad D_2 = \begin{bmatrix} 1 & 1 \\ 1 & 0 \end{bmatrix}. \quad (2)$$

The problem of complexity of OR-coverings for D_N was almost closed in [2]. There was established that

$$N^{1.16} \prec \text{OR}_2(D_N) \prec N^{1.17}$$

(the lower bound is from [3]). Moreover, the authors of [2] constructed a covering of almost minimal complexity, up to a factor of order $(\log N)^{O(1)}$.

The question about additive (SUM) complexity of matrices is less clear. In [3], we propose a simple way to show that

$$\text{SUM}_2(D_N) \leq \sigma^n(D_2) = (\sqrt{2} + 1)^n \prec N^{1.272}$$

relying on a trivial (and optimal) decomposition of the matrix D_2 into rectangles of size 1×1 and 1×2 (or 2×1). This approach was nontrivially generalized in [1]. Due to limitations inherent in the analysis of the proposed method, the efficient implementation of the Kneser–Sierpinski matrices is justified only with the basic coverings of matrices D_4 and D_8 . In the latter case, the obtained bound [1] is

$$\text{SUM}_2(D_N) \leq \sigma^{n/3+o(n)}(D_8) = (\sqrt{8} + \sqrt{7} + 3\sqrt{3} + 3)^{n/3+o(n)} \prec N^{1.258}.$$

In the present note, we describe a version of this method for the (most interesting) case of symmetric matrices. The limits of applicability of the method are (comparatively) extended, and a more elementary proof is given. As a consequence, an upper bound for the complexity of the Kneser–Sierpinski matrices is reduced to $\text{SUM}_2(D_N) \prec N^{1.251}$.

Note that the question about existence of substantially more efficient XOR-coverings for matrices D_N is still open.

2 The synthesis method

In this section, we provide a general method for constructing a covering of a symmetric matrix $A^{\otimes n}$. The method is essentially equivalent to the method [1]. By the way, we will follow an illustrating example where a non-trivial covering of D_N is obtained from coverings of the matrix D_4 . This example doesn't require the method in its full generality.

Assume there exist two coverings of a symmetric matrix A , or to be precise, two pairs of coverings, if we count transposed ones. The first covering F (F^T) is supposed to be efficient in the terms of spectral weight. The second covering G is one-sided: the longest sides of all its non-square rectangles are parallel. Coverings G/G^T serve to compensate an imbalance caused by the use of F -type coverings.

► Fig. 1 shows appropriate coverings of D_4 . The covering F_2 (on the left) has optimal spectral weight $\sigma(F_2) = 4 + \sqrt{3}$. The covering G_2 (on the right) has good correcting qualities. Its spectral weight is slightly higher, $\sigma(G_2) = 3 + 2\sqrt{2}$. ◀



Figure 1: Weight-minimal and compensating coverings of D_4

Let H be a covering of a matrix B . Then we can build a covering of a matrix $A \otimes B$ in the form $\{F_i \otimes R_i \mid R_i \in H\}$, where F_i are some coverings of A . This way we sequentially obtain coverings for matrices $A, A^{\otimes 2}, A^{\otimes 3}, \dots$. In the main process, we choose $F_i \in \{F, F^T\}$. Precisely, we transform an $a \times b$ rectangle R into $F \otimes R$, if $a \leq b$, and into $F^T \otimes R$, otherwise.

Consider a covering $F = \{R_1, \dots, R_s\}$ consisting of $a_i \times b_i$ rectangles R_i . The *characteristic function* of F is defined as

$$\chi_F(x) = \sigma(R_1) \left(\frac{a_1}{b_1}\right)^x + \dots + \sigma(R_s) \left(\frac{a_s}{b_s}\right)^x - \sigma(F). \quad (3)$$

As follows from the definition, $\chi_F(0) = 0$. We call a covering F *compact*, if $\chi_F(x)$ takes negative values on some negative arguments⁵. For a com-

⁵It is a weak analogue of imbalanced covering from [1].

compact covering F , let λ_F denote the minimal real root of χ_F in whose right semineighbourhood the function is negative⁶.

Note that the condition $\chi'_F(0) = \sum_i \sigma(R_i) \ln(a_i/b_i) > 0$ is sufficient for F to be compact.

So, we require the compactness of a covering F for our algorithm of computation of a Kronecker power of a matrix A .

► The covering F_2 of D_4 is compact. Its characteristic function is $\chi_{F_2}(x) = 2 \cdot 4^x + \sqrt{3} \cdot 3^{-x} - 2 - \sqrt{3}$, and the minimal root is $\lambda_{F_2} \approx -0.305$. ◀

For compensation, we will use a compact *one-sided* covering G consisting of $a'_i \times b'_i$ rectangles R'_i satisfying $a'_i \geq b'_i$. The quality of such covering is characterized by the coefficient

$$\mu_G = \frac{1}{\sigma(G)} \sum_{R \in G} \frac{\sigma(R)}{\sqrt{\rho(R)}} = \frac{1}{\sigma(G)} \sum_i b'_i.$$

For $x > 1$, define the function

$$\pi_G(x) = \frac{1}{\sigma(G)} \sum_{R \in G} \sigma(R) \cdot x^{-\lfloor \log_x \rho(R) \rfloor / 2}. \quad (4)$$

It easily follows from the definition that $\pi_G(x) \geq \mu_G$, and $\pi_G(x) \rightarrow \mu_G$ as $x \rightarrow 1$.

► For the covering G_2 , we have $\mu_{G_2} = \frac{4}{3+2\sqrt{2}}$. ◀

Theorem 1. *Let F be a compact \mathbb{L} -covering, and G be a compact one-sided \mathbb{L} -covering of a symmetric $r \times r$ matrix A , and $\sigma(G) \geq \sigma(F)$. If the condition*

$$\frac{\sigma(G)}{\sigma(F)} < \mu_G^{2\lambda_F} \quad (5)$$

is satisfied, then for $N = r^n$,

$$\mathbb{L}_2(A^{\otimes n}) \preceq N^{\log_r \sigma(F)}.$$

► The matrix D_4 and its coverings F_2, G_2 satisfy the conditions of the theorem, since $\lambda_{F_2} < -0.3$ and $\mu_{G_2} = \frac{4}{3+2\sqrt{2}}$. Hence, $\text{SUM}_2(D_N) \preceq N^{\log_4(4+\sqrt{3})} \prec N^{1.26}$. ◀

⁶The compactness of a covering implies that $b_i < a_i$ for some i . Then, λ_F is correctly defined since $\chi_F(x) \rightarrow +\infty$ as $x \rightarrow -\infty$, and any exponential sum of the form (3) has a finite number of real zeros, see e.g. [4].

Proof. The proof strategy is the following. First, we analyze the evolution of rectangle sizes after multiple application of type- F coverings. Then, do the same for type- G coverings. Finally, we propose an appropriate combination of these two types of coverings.

I. By compactness of the covering F , for some (small enough) $\delta, \epsilon > 0$, and $\lambda = \lambda_F + \delta$ such that $\chi_F(\lambda) < -\epsilon$, the inequality (5) holds true after replacing λ_F by λ . Let us check that for all small enough $\tau > 1$,

$$\sigma(R_1)\tau^{\lambda\lceil\log_\tau(a_1/b_1)\rceil} + \dots + \sigma(R_s)\tau^{\lambda\lceil\log_\tau(a_s/b_s)\rceil} \leq \sigma(F). \quad (6)$$

Indeed, the left side of (6) doesn't exceed

$$\tau^{-\lambda}(\chi_F(\lambda) + \sigma(F)) < \tau^{-\lambda}(\sigma(F) - \epsilon),$$

thus to satisfy (6), it is sufficient to require $\tau^{-\lambda} \leq 1 + \frac{\epsilon}{\sigma(F)}$. Therefore, any choice from the interval $1 < \tau \leq \left(1 + \frac{\epsilon}{\sigma(F)}\right)^{-1/\lambda}$ is suitable.

We assign to the parameter τ the meaning of a discretization step of changing the ratios between the rectangle's sides in the classification of rectangles. The final choice of τ will be decided later.

Let us introduce a classification on the set \mathcal{R} of all rectangles depending on the ratio between the longer and the shorter sides. Set $\mathcal{R} = \bigcup_{k \geq 0} I_k$, where I_0 contains rectangles R satisfying $\rho(R) \leq r$, and for $k \geq 1$, the set I_k contains rectangles with ratios $r \cdot \tau^{k-1} < \rho(R) \leq r \cdot \tau^k$. Recall that r is the size of the matrix A .

► In the example with the covering F_2 , we set $\tau = 4$. Then, $I_0 = \{R \mid \rho(R) \leq 4\}$, and $I_k = \{R \mid 4^k < \rho(R) \leq 4^{k+1}\}$ for $k > 0$. The function $\chi_{F_2}(x)$ is negative in the interval $(\lambda_{F_2}, 0)$, thus we are quite free in choosing λ . The specific value will be determined later. ◀

When performing compositions with coverings of A , we will track the distribution of the spectral weight of rectangles among the sets I_k . In doing so, we will be guided by the principle of *error to the right*. It means that: (a) we allow a rectangle to be placed into a set I_k with a higher index k , but not otherwise, and (b) we estimate the distribution of the weight of a covering of $A \otimes R$ only on the basis of information about assigning R to a certain set I_k . As a consequence, the estimated distribution of a covering obtained as a result of a series of iterations (with possible errors to the right) may differ from the true distribution only in that some rectangles appear in sets I_k with higher indices.

The redistribution of the spectral weight of a set of rectangles under the composition with type- F coverings (with possible errors to the right) may be

estimated from the coefficients of the Laurent polynomial

$$P_F(x) = \sum_{i \in \mathbb{Z}} \beta_i x^i = \frac{\sigma(R_1)}{\sigma(F)} x^{\lfloor \log_\tau(a_1/b_1) \rfloor} + \dots + \frac{\sigma(R_s)}{\sigma(F)} x^{\lfloor \log_\tau(a_s/b_s) \rfloor} \quad (7)$$

obtained from (6). It means that for $R \in I_m$, the weight of rectangles from $(F/F^T) \otimes R$ is distributed so that the portion β_k of the total weight belongs to I_{m-k} in the case $m - k > 0$, and to I_0 , otherwise.

► For the covering F_2 , and $\tau = 4$, we obtain $P_{F_2}(x) = \frac{2x+2+\sqrt{3}x^{-1}}{4+\sqrt{3}}$. The corresponding redistribution diagram is shown on Fig. 2. ◀

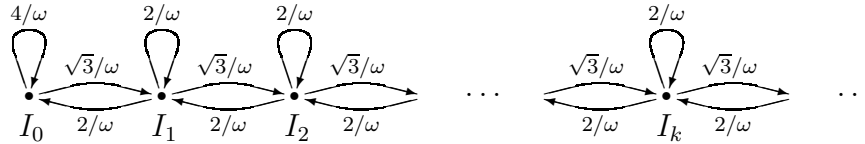


Figure 2: Diagram of spectral weight redistribution under the action of the composition with the covering F_2/F_2^T (here $\omega = \sigma(F_2) = 4 + \sqrt{3}$)

Let $p_k(t)$ stand for the fraction of the spectral weight of the constructed covering of $A^{\otimes t}$ associated with the set I_k . In the beginning, one has $p_0(0) = 1$, and $p_k(0) = 0$ for all $k > 0$. Set $\nu = \tau^\lambda$. By (6), $P_F(\nu) \leq 1$. Denote $d = \deg P_F = \max_{\beta_i > 0} |i|$.

We are going to show that the distribution $\{p_k^*(t)\}$ with $p_k^*(t) = \nu^k$ for $k \leq dt$, and $p_k^*(t) = 0$ for all $k > dt$, is a majorant for $\{p_k(t)\}$, meaning that the values $p_k^*(t)$ upper bound the components of some distribution $\{p'_k(t)\}$ obtained from $\{p_k(t)\}$ by a partial shift of the distribution to the right: from components with smaller indices to components with greater indices⁷.

Obviously, in the moment $t = 0$, the majorization condition is fulfilled. Let us prove the induction step: apply the composition with F/F^T to a set of rectangles with the distribution $\{p_k^*(t)\}$. Rectangles from I_k , where $k > d(t + 1)$, do not appear here. For $0 < k \leq d(t + 1)$, the weight of rectangles from I_k may be upper bounded as

$$\sum_{i \in \mathbb{Z}} \beta_i \nu^{k+i} = \nu^k P_F(\nu) \leq \nu^k. \quad (8)$$

In the case $k = 0$, this bound is, generally speaking, wrong, since an essential portion of the total weight remains in I_0 .

⁷Though the distribution $\{p_k(t)\}$ is probabilistic, we don't require the same from the majorant $\{p_k^*(t)\}$ allowing the sum of its components be greater than 1. Our goal is just deriving upper bounds on $p_k(t)$.

However, if I_0 receives exceptional weight, then other sets I_1, I_2, \dots (in general) suffer from the weight deficit, as follows from (8). Therefore, we can redistribute the exceptional weight from I_0 to other sets, in accordance to the error-to-the-right principle. It is possible, since the composition preserves the conditional total weight, i.e. the sum of distribution components.

As a consequence, after t steps of composition with coverings F/F^T , any set I_k contains a portion at most ν^k of the total weight $\sigma^t(F)$ of the resulting covering of $A^{\otimes t}$, up to some errors to the right.

► In our example with D_4 , we may choose $\nu = \sqrt{3}/2$ (it's a root of the polynomial $P_{F_2}(x)$). The choice allows us to avoid a redistribution of the weight from I_0 . The distribution $\{1, \nu, \nu^2, \dots, \nu^k, \dots\}$ is stationary for the diagram on Fig. 2. Implicitly, we also chose $\lambda = \log_4 \nu > \lambda_{F_2}$. ◀

II. The redistribution of the spectral weight of a set of rectangles under the composition with type- G coverings (again, with possible errors to the right) may be described by the polynomial

$$P_G(x) = \alpha_l x^l + \dots + \alpha_1 x + \alpha_0 = \frac{1}{\sigma(G)} \sum_{R \in G} \sigma(R) x^{\lfloor \log_\tau \rho(R) \rfloor}.$$

For $R \in I_m$, the spectral weight of rectangles from $(G/G^T) \otimes R$ is distributed so that the portion α_k belongs to I_{m-k} in the case $k < m$, and to I_0 , otherwise.

► Actually, for the covering G_2 , and $\tau = 4$, one can assign (assuming some errors to the right) $P_{G_2}(x) = (x + 2)/3$. The weight redistribution under the action of coverings G_2/G_2^T is shown by the diagram on Fig. 3. ◀

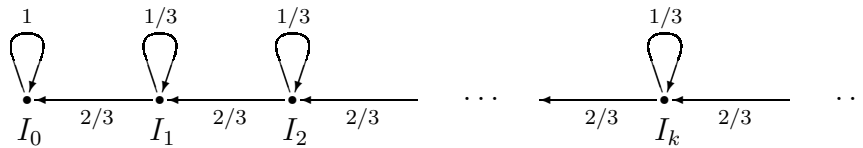


Figure 3: Diagram of spectral weight redistribution under the action of the composition with the covering G_2/G_2^T

Assuming that the initial weight distribution has a form $q_m(0) = 1$, $q_i(0) = 0$ for all $i \neq m$, that is, all rectangles are located in I_m , then af-

ter t steps of compositions with G -type coverings, we obtain a distribution⁸

$$q_{m-k}(t) = \sum_{\substack{k_1+\dots+k_l \leq t \\ k_1+2k_2+\dots+l k_l = k}} C_t^{k_1, \dots, k_l} \alpha_1^{k_1} \cdot \dots \cdot \alpha_l^{k_l} \alpha_0^{t-(k_1+\dots+k_l)} \quad (9)$$

for $0 \leq k < m$. For a component associated with I_0 , we use a trivial estimate $q_0(t) \leq 1$. By consideration, if $\alpha_i = 0$, then $k_i = 0$, and the corresponding factor $\alpha_i^{k_i}$ in (9) should be replaced by 1. This remark will be implied in further calculations. The total weight of the (considered part of the) covering under construction will increase $\sigma^t(G)$ times in t steps.

Note that $P_G(1/\sqrt{\tau}) = \pi_G(\tau)$, see (4). Recall that $\pi_G(x) \rightarrow \mu_G$ as $x \rightarrow 1$. Our final choice of τ is such that the inequality (5) remains valid after replacing λ_F by λ , and μ_G by $\pi_G(\tau)$ (τ should be small enough).

Observe that our choice implies $\alpha_0 \neq 1$, since otherwise $\pi_G(\tau) \equiv 1$, and the inequality (5) cannot be satisfied. On the other hand, $\mu_G < 1$ due to the compactness of G : there should exist rectangles $R \in G$ with $\rho(R) > 1$.

III. Now we are ready to state the synthesis algorithm, namely the rule of combination of the coverings F and G . Choose γ satisfying the condition

$$-\frac{1}{\lambda} \log_{\tau} \frac{\sigma(G)}{\sigma(F)} < \gamma \leq -2 \log_{\tau} \pi_G(\tau). \quad (10)$$

Such γ does exist, since the inequality between the left and the right sides of (10) is equivalent to (5), where λ_F is replaced by λ , and μ_G is replaced by $\pi_G(\tau)$ (just apply a base- τ logarithm to (5) and divide by λ).

To construct the required covering of $A^{\otimes n}$, we assign two sets of rectangles, \mathcal{F} and \mathcal{G} .

- (i) Before the start of the algorithm, the set \mathcal{G} is empty, and the set \mathcal{F} contains a 1×1 rectangle (a trivial covering of the matrix $A^{\otimes 0}$).
- (ii) Then, perform n similar steps. A step t does the following:
 - with the use of a suitable covering F or F^T , transform any rectangle $R \in \mathcal{F}$ into $(F/F^T) \otimes R$;
 - with the use of a suitable covering G or G^T , transform any rectangle $R \in \mathcal{G}$ into $(G/G^T) \otimes R$;
 - relocate from \mathcal{F} to \mathcal{G} all rectangles $R \in \mathcal{F}$ belonging to the sets I_m with $m \geq \gamma(n-t)$.
- (iii) By construction, after any t steps, the set $\mathcal{F} \cup \mathcal{G}$ is a covering of the matrix $A^{\otimes t}$. In the end of the algorithm, the set \mathcal{F} is empty, and \mathcal{G} is a covering of $A^{\otimes n}$.

⁸Here $C_t^{k_1, \dots, k_l}$ stands for the multinomial coefficient representing the number of ways to select from t elements l groups, with k_i elements in i -th group.

Essentially, this is the algorithm [1]. The parameter γ controls the switching between the two stages of the algorithm. Next, we are going to prove that \mathcal{G} has the desired complexity.

For any m , we have to relocate rectangles belonging to $I_m \cap \mathcal{F}$ on at most $\frac{d}{\gamma} + 2 = O(1)$ (consecutive) steps, namely while $m - d < \gamma(n - t) \leq m$, and one more time, when $m - d \geq \gamma(n - t)$. On the subsequent steps, rectangles in I_m don't appear.

Let us turn to complexity bounds. The complexity of a rectangle $R \in I_m$ in relation to its spectral weight is estimated to be higher, when m is greater. Recall that $w(R) \asymp \sqrt{\rho(R)}\sigma(R)$. Therefore, an erroneous assignment of a rectangle to a set I_m with a higher index m (an error to the right) leads to overestimation of the complexity.

The complexity of the part of the covering \mathcal{G} derived from rectangles that belonged to $I_m \cap \mathcal{F}$ at the moment of relocation is bounded from above as

$$L_m \preceq \sigma^n(F) \nu^m \left(\frac{\sigma(G)}{\sigma(F)} \right)^{\frac{m}{\gamma}} \cdot \left(1 + \sum_{k_1 + \dots + k_l \leq \frac{m}{\gamma}} C_{\frac{m}{\gamma}}^{k_1, \dots, k_l} \alpha_1^{k_1} \cdot \dots \cdot \alpha_l^{k_l} \alpha_0^{\frac{m}{\gamma} - (k_1 + \dots + k_l)} \tau^{\frac{m - (k_1 + 2k_2 + \dots + lk_l)}{2}} \right). \quad (11)$$

Here the first factor $\sigma^n(F)$ is the expected weight of the entire covering under the (optimistic) assumption that we apply only F -type coverings. The second factor ν^m is the upper bound for the weight portion of the covering \mathcal{F} associated with I_m at the moment of relocation. The third factor reflects the weight increase caused by the application of G -type coverings instead of F/F^T on the last $m/\gamma - O(1)$ steps of the algorithm. In brackets, an additional factor taking into account the final distribution of the spectral weight is written. Namely, the term 1 represents the complexity of rectangles from I_0 , and under the sum are written the products of the partial weight portions of rectangles from I_{m-k} with $k = k_1 + 2k_2 + \dots + lk_l$ (provided by (9)), and the estimate $\tau^{\frac{m-k}{2}}$ of the ratio between the complexity and the spectral weight of rectangles from I_{m-k} . The summands with $m \leq k$ are excess.

Multinomial coefficients satisfy the standard inequality⁹

$$C_n^{k_1, \dots, k_l} \leq 2^{nH(k_1/n, \dots, k_l/n)}, \quad \text{where}$$

$$H(x_1, \dots, x_l) = - \sum_{i=0}^l x_i \log_2 x_i, \quad x_0 = 1 - \sum_{i=1}^l x_i,$$

⁹Easily follows by induction on l from the well-known relation $C_n^k \leq 2^{H(k/n)}$.

is the binary entropy function defined on the l -dimensional simplex¹⁰ $\mathbb{R}_+^l \cap \{x_1 + \dots + x_l \leq 1\}$.

It is easy to check that for any $c_i > 0$,

$$H(x_1, \dots, x_l) + \sum_{i=1}^l x_i \log_2 c_i \leq \log_2 \left(1 + \sum_{i=1}^l c_i \right). \quad (12)$$

Indeed, it immediately follows from the variant of the Hölder's inequality

$$\prod_{i=0}^l a_i^{b_i} \leq \sum_{i=0}^l a_i b_i$$

that holds for $a_i, b_i > 0$, and $\sum b_i = 1$, see e.g. [5, Ch. V] (just assign $b_i = x_i$, $a_i = c_i/x_i$, where $c_0 = 1$, and take a logarithm; in the case $x_i = 0$ for some i , evaluate the limit).

By setting $k_i = \frac{x_i m}{\gamma}$ for $i = 1, \dots, l$, and applying (12), we obtain

$$\begin{aligned} \log_2 \left(C_0^{\frac{k_1, \dots, k_l}{\gamma}} \alpha_1^{k_1} \cdot \dots \cdot \alpha_l^{k_l} \alpha_0^{\frac{m}{\gamma} - (k_1 + \dots + k_l)} \tau^{\frac{m - (k_1 + 2k_2 + \dots + lk_l)}{2}} \right) &\leq \\ \frac{m}{\gamma} \left(H(x_1, \dots, x_l) + \sum_{i=1}^l x_i \log_2 \frac{\alpha_i}{\alpha_0 \tau^{i/2}} + \log_2 (\alpha_0 \tau^{\gamma/2}) \right) &\leq \\ \frac{m}{\gamma} \cdot \left(\log_2 \left(\sum_{i=0}^l \frac{\alpha_i}{\tau^{i/2}} \right) + \log_2 (\tau^{\gamma/2}) \right). \end{aligned}$$

Thus, we continue (11) as

$$L_m \leq \sigma^n(F) \left(C_0^{\frac{m}{\gamma}} + m^l C_1^{\frac{m}{\gamma}} \right), \quad \text{where}$$

$$C_0 = \frac{\sigma(G) \nu^\gamma}{\sigma(F)}, \quad C_1 = C_0 \cdot P_G(1/\sqrt{\tau}) \cdot \tau^{\gamma/2}.$$

Here the power of C_0 corresponds to the contribution of rectangles from I_0 , and the power of C_1 to the contribution of the remaining rectangles.

Let us check that $C_1 \leq C_0 < 1$. Indeed, in the case $\sigma(G) = \sigma(F)$, the inequality $C_0 = \nu^\gamma < 1$ holds trivially. In the other case $\sigma(G) > \sigma(F)$, from the left part of (10), it follows that

$$C_0 = \frac{\sigma(G)}{\sigma(F)} \tau^{\lambda\gamma} < 1.$$

¹⁰On the boundary, the function is defined by continuity.

Further, the right part of (10) implies $\tau^{\gamma/2} \leq 1/\pi_G(\tau)$, hence $C_1 \leq C_0$.

► For our example $A = D_4$, choose $\gamma = 1/5$. Then $C_0 < 0.99$, and $C_1 < 0.95$. ◀

Finally, we conclude

$$L_2(A^{\otimes n}) \preceq w(\mathcal{G}) = \sum_{m \geq 0} L_m \preceq \sigma^n(F) \sum_{m \geq 0} \left(C_0^{\frac{m}{\gamma}} + m^l C_1^{\frac{m}{\gamma}} \right) \asymp \sigma^n(F). \quad \blacksquare$$

As a reserve for improving the method, one can suggest a more subtle combination of the two types of coverings involving reverse relocations of rectangles from \mathcal{G} to \mathcal{F} .

3 Coverings of the Kneser–Sierpinski matrices

For a matrix D_r , $r = 2^t$, we propose a covering F_t consisting solely of rectangles of width 1. It generalizes the examples of Fig. 1 (for $t = 2$), and from [1] (for $t = 3$).

We exploit a simple gradient-fashion approach. First, put into F_t a column labeled by \emptyset , then add a row labeled by \emptyset from the remaining part of the matrix. Next, we sequentially extract ones from all columns, and then from all rows labeled by the size-1 subsets of $[t]$. Then, we do the same with columns and rows labeled by the size-2 subsets, and go on until we reach $t/2$ -size labels. At this point, all ones in D_r are covered.

Let $s(m, k)$ denote the binomial sum

$$s(m, k) = C_m^k + C_m^{k+1} + \dots + C_m^m.$$

By construction, any rectangle corresponding to a column labeled by a size- k subset has height $s(t - k, k)$, and a rectangle corresponding to a row labeled by a size- k subset has length $s(t - k, k + 1)$. Hence,

$$\sigma(F_t) = \sum_{k=0}^{t/2} C_t^k \left(\sqrt{s(t - k, k)} + \sqrt{s(t - k, k + 1)} \right).$$

Direct calculation shows that the quantity $\log_r \sigma(F_t)$ attains its minimum 1.2502... when $t = 18$, and, as easy to verify, it tends to the limit 1.259... as $t \rightarrow \infty$.

As a correcting covering G_t , we take a covering of all columns of D_r by individual rectangles, as shown on Fig. 1. Easy to see that $\sigma(G_t) = (\sqrt{2} + 1)^t$, and $\mu_{G_t} = \left(\frac{2}{\sqrt{2} + 1} \right)^t$.

With the use of coverings F_t, G_t , it is possible to satisfy the conditions of Theorem 1 only for $t \leq 15$. It can be directly verified that $\sigma(F_{15}) < 442412$, and $\lambda_{F_{15}} < -0.04$.

Corollary 1. $\text{SUM}_2(D_N) \preceq N^{\log_2 15 \sigma(F_{15})} \prec N^{1.251}$.

It's a kind of surprise, that coverings of matrices D_r by width-1 rectangles appear so efficient for the iterative procedure. However, they are not optimal in terms of spectral weight. At least starting from $t = 7$, one can construct better coverings via uniting common parts of columns or rows.

The author thanks Stasys Jukna for helpful comments.

References

- [1] Alman J., Guan Y., Padaki A. Smaller low-depth circuits for Kronecker powers. 2022. [arXiv:2211.05217v1](https://arxiv.org/abs/2211.05217v1).
- [2] Chistikov D., Iván S., Lubiw A., Shallit J. Fractional coverings, greedy coverings, and rectifier networks. Proc. STACS (Hannover, 2017). LIPIcs. 2017. **66**, Art. 23.
- [3] Jukna S., Sergeev I. Complexity of linear boolean operators. Foundations and Trends in Theoretical Computer Science. 2013. **9**(1), 1–123.
- [4] Langer R. E. On the zeros of exponential sums and integrals. Bulletin AMS. 1931. **37**, 213–239.
- [5] Mitrinović D. S., Pečarić J. E., Fink A. M. Classical and new inequalities in analysis. Dordrecht–Boston–London: Kluwer, 1993.

Замечание о сложности покрытий для кронекеровых степеней симметрических матриц

И. С. Сергеев*

Аннотация

В настоящей заметке исследуется новый метод построения эффективных покрытий кронекеровых степеней матриц, предложенный Дж. Альманом, Ю. Гуаном и А. Падаки [1]. Мы предлагаем альтернативное доказательство результата о сложности кронекеровых степеней симметрических матриц в более сильной форме. Как следствие, верхняя оценка сложности булевых $N \times N$ матриц Кнезера—Серпинского при вычислении аддитивными схемами глубины 2 улучшена до $O(N^{1.251})$. Данную работу можно рассматривать как дополнение к [3].

1 Введение

Кратко напомним необходимые понятия. Более подробное введение в проблематику см. в [3].

Прямоугольником размера $a \times b$ называется сплошь единичная матрица из a строк и b столбцов. Далее в зависимости от контекста, под *прямоугольником* мы также будем иногда понимать матрицу ранга 1, т.е. состоящую из сплошь единичной подматрицы и нулей на остальных позициях.

*Сложностью*¹ прямоугольника R размера $a \times b$ назовем сумму длин его двух сторон и обозначим $w(R) = a + b$. Введем характеристику «узости» прямоугольника как отношение длин большей и меньшей его сторон, $\rho(R) = \frac{\max(a, b)}{\min(a, b)}$. *Спектральный вес* прямоугольника определяется как $\sigma(R) = \sqrt{ab}$.

*e-mail: isserg@gmail.com

¹В работе [3] вместо этого использовался термин *вес*. Здесь мы заменяем его на сложность во избежание путаницы со спектральным весом прямоугольника.

Множество прямоугольников $F = \{R_1, \dots, R_k\}$ называется *покрытием* булевой матрицы A , если

$$A = R_1 + \dots + R_k. \quad (1)$$

(В этой формуле под R_i понимаются матрицы ранга 1.) Если операция «+» в формуле (1) является целочисленным сложением, то покрытие F называем **SUM**-покрытием; если дизъюнкцией, то **OR**-покрытием; если сложением по модулю 2, то **XOR**-покрытием.

Сложность покрытия определяется как $w(F) = w(R_1) + \dots + w(R_k)$, а спектральный вес — как $\sigma(F) = \sigma(R_1) + \dots + \sigma(R_k)$. *L-сложность* матрицы A определяется при $L \in \{\text{SUM}, \text{OR}, \text{XOR}\}$ как минимальная сложность ее L -покрытия и обозначается $L_2(A)$ (что означает сложность вычисления матрицы линейными схемами соответствующего типа с глубиной 2).

► Указанные определения расширяются на случай матриц над произвольным полукольцом S . Прямоугольник над S имеет вид $(c_1, \dots, c_a)^T \cdot (d_1, \dots, d_b)$, где $c_i, d_j \in S \setminus \{0\}$. Покрытие матрицы определяется условием

$$A = e_1 R_1 + \dots + e_k R_k, \quad e_i \in S.$$

Излагаемые далее результаты распространяются и на вводимую подобным образом сложность вычисления матриц алгебраическими линейными схемами глубины 2. ◀

Пусть $\sigma(A)$ обозначает минимальный спектральный вес покрытия матрицы A . В силу $w(R) \geq 2\sigma(R)$ для любого прямоугольника R , спектральный вес служит простой нижней оценкой сложности²: $L_2(A) \succeq \sigma(A)$.

Удобным свойством спектрального веса является мультипликативность относительно кронекерова произведения. Напомним, что *кронекеровым произведением* булевых матриц A и B называется матрица $A \otimes B$, получаемая подстановкой матриц B на позиции единиц матрицы A и сплошь нулевых матриц такого же размера — на позиции нулей.

Заметим, что если F и G — покрытия матриц A и B , то $F \otimes G$ — покрытие³ матрицы $A \otimes B$, причем $\sigma(F \otimes G) = \sigma(F)\sigma(G)$. В частности, если мы строим покрытие матрицы $A^{\otimes n}$ (кронекеровой степени матрицы A) указанным методом композиции, используя подходящие покрытия матрицы A , то сложность построенного покрытия H будет удовлетворять оценке $w(H) \succeq \sigma(H) \succeq \sigma^n(A)$.

²Здесь и далее символы \asymp , \prec , \preceq означают соответственно равенство, строгое и нестрогое неравенства порядков роста.

³Кронекерово произведение множеств матриц определяется как $F \otimes G = \{R \otimes R' \mid R \in F, R' \in G\}$.

В работе [1] фактически поставлен вопрос, можем ли мы получать верхние оценки вида $L_2(A^{\otimes n}) \preceq \sigma^{n+o(n)}(A)$ или хотя бы $L_2(A^{\otimes n}) \preceq \sigma^{n+o(n)}(F)$ для некоторых подходящих покрытий F матрицы A . То, что это не всегда возможно, показывает пример $A = \begin{bmatrix} 1 & 1 \\ 0 & 0 \end{bmatrix}$.

В общем случае препятствием к получению подобных оценок является растущая несимметричность прямоугольников из покрытия: сложность прямоугольника R связана со спектральным весом соотношением⁴ $w(R) \asymp \sqrt{\rho(R)}\sigma(R)$. Тем не менее, в нескольких ситуациях авторам [1] удалось преодолеть указанное затруднение и получить желаемые оценки: во-первых, в случае, когда покрытие F удовлетворяет определенным критериям асимметричности, и во-вторых, когда матрица A симметрическая, а покрытие одностороннее (все прямоугольники вытянуты в одном направлении).

Пожалуй, наиболее интересным (среди булевых матриц) объектом приложения теории являются матрицы Кнезера—Серпинского (матрицы пересечений). Напомним, что булева $N \times N$ матрица Кнезера—Серпинского D_N определяется при $N = 2^n$ следующим образом. Нумеруя строки и столбцы D_N всевозможными подмножествами $u \subset [n]$, полагаем $D[u, v] = 1$ в том и только том случае, когда $u \cap v = \emptyset$. Кроме того, матрицы D_N могут быть определены как кронекеровы произведения

$$D_N = D_2^{\otimes n} = \underbrace{D_2 \otimes \dots \otimes D_2}_n, \quad D_2 = \begin{bmatrix} 1 & 1 \\ 1 & 0 \end{bmatrix}. \quad (2)$$

Вопрос о сложности OR-покрытий матриц D_N практически закрыт в работе [2]. В результате установлено, что

$$N^{1.16} \prec \text{OR}_2(D_N) \prec N^{1.17}$$

(нижняя оценка из [3]), причем авторы [2] предъявили покрытие, сложность которого оптимальна с точностью до множителя $(\log N)^{O(1)}$.

Меньше определенности в вопросе об аддитивной (SUM) сложности матриц. В работе [3] предложен простой способ доказательства верхней оценки

$$\text{SUM}_2(D_N) \preceq \sigma^n(D_2) = \left(\sqrt{2} + 1\right)^n \prec N^{1.272},$$

который опирается на тривиальное (и оптимальное) покрытие матрицы D_2 прямоугольниками размера 1×1 и 1×2 (или 2×1). Этот способ нетривиально обобщен в работе [1]. В силу присущих анализу метода ограничений эффективная реализация матриц Кнезера—Серпинского обоснована

⁴Более точно, $w(R) = \left(\sqrt{\rho(R)} + \sqrt{1/\rho(R)}\right) \sigma(R)$.

только из базовых покрытий матриц D_4 и D_8 . Для последнего случая в [1] получена оценка

$$\text{SUM}_2(D_N) \preceq \sigma^{n/3+o(n)}(D_8) = \left(\sqrt{8} + \sqrt{7} + 3\sqrt{3} + 3\right)^{n/3+o(n)} \prec N^{1.258}.$$

В настоящей заметке описан вариант этого метода для (наиболее интересного) случая симметрических матриц. Границы применимости (относительно общего метода [1]) расширены и дано более элементарное доказательство. При этом верхняя оценка сложности матриц Кнезера—Серпинского уточнена до $\text{SUM}_2(D_N) \prec N^{1.251}$.

По-прежнему открыт вопрос о возможности построения существенно более эффективных XOR-покрытий для матриц D_N .

2 Метод синтеза

В этом разделе мы изложим общий метод построения покрытия симметрической матрицы $A^{\otimes n}$, по существу совпадающий с методом [1]. По ходу изложение будет иллюстрироваться простым примером, в котором нетривиальное покрытие матрицы D_N строится при помощи покрытий матрицы D_4 . Этот пример не требует полной общности метода.

Пусть в нашем распоряжении есть два покрытия симметрической матрицы A (точнее, две пары покрытий, если считать вместе с транспонированными). Первое покрытие F (F^T) эффективно с точки зрения спектрального веса. Второе покрытие G одностороннее: все его прямоугольники вытянуты в одну сторону. Покрытия G/G^T будут использоваться для коррекции дисбаланса, вызванного применением покрытий F/F^T .

► На рис. 1 изображены подходящие покрытия матрицы D_4 . Покрытие F_2 (слева) имеет оптимальный спектральный вес $\sigma(F_2) = 4 + \sqrt{3}$. Покрытие G_2 (справа) обладает хорошими корректирующими характеристиками. Его спектральный вес чуть выше, $\sigma(G_2) = 3 + 2\sqrt{2}$. ◀

Пусть H — покрытие матрицы B . Тогда покрытие матрицы $A \otimes B$ можно получить в виде $\{F_i \otimes R_i \mid R_i \in H\}$, где F_i — некоторые покрытия матрицы A . Так мы последовательно строим покрытия матриц $A, A^{\otimes 2}, A^{\otimes 3}, \dots$. В основном процессе мы выбираем $F_i \in \{F, F^T\}$. Более конкретно, к $a \times b$ прямоугольнику R применяется F , если $a \leq b$, и F^T — иначе.

Пусть покрытие $F = \{R_1, \dots, R_s\}$ состоит из $a_i \times b_i$ прямоугольни-



Рис. 1: Оптимальное и компенсирующее покрытия матрицы D_4

ков R_i . *Характеристическая функция покрытия* определяется как

$$\chi_F(x) = \sigma(R_1) \left(\frac{a_1}{b_1}\right)^x + \dots + \sigma(R_s) \left(\frac{a_s}{b_s}\right)^x - \sigma(F). \quad (3)$$

В силу определения, $\chi_F(0) = 0$. Покрытие F назовем *компактным*, если $\chi_F(x)$ принимает отрицательные значения на отрицательной полуоси⁵. Для компактного покрытия F обозначим через λ_F минимальный вещественный корень функции χ_F , в правой полуокрестности которого функция отрицательна⁶.

Заметим, что условие $\chi'_F(0) = \sum_i \sigma(R_i) \ln(a_i/b_i) > 0$ является достаточным для компактности покрытия F .

Мы требуем, чтобы используемое для вычисления кронекеровой степени матрицы A покрытие F было компактным.

► Покрытие F_2 матрицы D_4 является компактным. Его характеристическая функция имеет вид $\chi_{F_2}(x) = 2 \cdot 4^x + \sqrt{3} \cdot 3^{-x} - 2 - \sqrt{3}$, а минимальный корень равен $\lambda_{F_2} \approx -0.305$. ◀

В роли компенсирующего будет выступать компактное *одностороннее* покрытие G , состоящее из $a'_i \times b'_i$ прямоугольников R'_i , где $a'_i \geq b'_i$. Качество такого покрытия будет характеризоваться коэффициентом

$$\mu_G = \frac{1}{\sigma(G)} \sum_{R \in G} \frac{\sigma(R)}{\sqrt{\rho(R)}} = \frac{1}{\sigma(G)} \sum_i b'_i.$$

При $x > 1$ определим функцию

$$\pi_G(x) = \frac{1}{\sigma(G)} \sum_{R \in G} \sigma(R) \cdot x^{-\lfloor \log_x \rho(R) \rfloor / 2}. \quad (4)$$

⁵Это слабый аналог определения несбалансированного покрытия в [1].

⁶Из компактности покрытия следует, что $b_i < a_i$ при некотором i . Тогда число λ_F определено корректно ввиду того, что $\chi_F(x) \rightarrow +\infty$ при $x \rightarrow -\infty$, а любая экспоненциальная сумма вида (3) имеет конечное число вещественных нулей, см., например, [4].

Из определения вытекает, что $\pi_G(x) \geq \mu_G$ и $\pi_G(x) \rightarrow \mu_G$ при $x \rightarrow 1$.

► Для покрытия G_2 справедливо $\mu_{G_2} = \frac{4}{3+2\sqrt{2}}$. ◀

Теорема 1. Пусть F — компактное L -покрытие, а G — компактное одностороннее L -покрытие симметрической $r \times r$ матрицы A , при этом $\sigma(G) \geq \sigma(F)$. Если выполнено условие

$$\frac{\sigma(G)}{\sigma(F)} < \mu_G^{2\lambda_F}, \quad (5)$$

то для $N = r^n$ справедливо

$$L_2(A^{\otimes n}) \preceq N^{\log_r \sigma(F)}.$$

► Для матрицы D_4 и покрытий F_2, G_2 условия теоремы выполнены, т.к. $\lambda_{F_2} < -0.3$ и $\mu_{G_2} = \frac{4}{3+2\sqrt{2}}$. Поэтому $\text{SUM}_2(D_N) \preceq N^{\log_4(4+\sqrt{3})} \prec N^{1.26}$. ◀

Доказательство. План доказательства следующий. Сначала выполним анализ эволюции размеров прямоугольников покрытия при многократном применении покрытий F/F^T . Затем — то же самое для покрытий G/G^T . В заключение опишем подходящую комбинацию двух типов покрытий.

I. По условию компактности покрытия F , для некоторых (достаточно малых) $\delta, \epsilon > 0$ и $\lambda = \lambda_F + \delta$ выполнено $\chi_F(\lambda) < -\epsilon$ и одновременно неравенство (5) сохраняет силу при подстановке λ вместо λ_F . Покажем, что для всех достаточно малых $\tau > 1$ выполняется

$$\sigma(R_1)\tau^{\lambda[\log_\tau(a_1/b_1)]} + \dots + \sigma(R_s)\tau^{\lambda[\log_\tau(a_s/b_s)]} \leq \sigma(F). \quad (6)$$

Действительно, левая часть (6) не превосходит

$$\tau^{-\lambda}(\chi_F(\lambda) + \sigma(F)) < \tau^{-\lambda}(\sigma(F) - \epsilon),$$

поэтому для выполнения (6) достаточно потребовать $\tau^{-\lambda} \leq 1 + \frac{\epsilon}{\sigma(F)}$, таким образом, подходит интервал значений $1 < \tau \leq \left(1 + \frac{\epsilon}{\sigma(F)}\right)^{-1/\lambda}$.

Параметру τ мы припишем смысл шага изменения соотношения между сторонами при классификации прямоугольников. Окончательный выбор параметра будет сделан позже.

На множестве прямоугольников \mathcal{R} введем классификацию в зависимости от отношения большей стороны к меньшей: $\mathcal{R} = \bigcup_{k \geq 0} I_k$, где I_0 содержит прямоугольники R , для которых $\rho(R) \leq r$, а при $k \geq 1$ множество I_k содержит прямоугольники с отношением сторон $r \cdot \tau^{k-1} < \rho(R) \leq r \cdot \tau^k$. Напомним, что r — это размер матрицы A .

► В случае покрытия F_2 полагаем $\tau = 4$. Тогда $I_0 = \{R \mid \rho(R) \leq 4\}$ и $I_k = \{R \mid 4^k < \rho(R) \leq 4^{k+1}\}$ при $k > 0$. Функция $\chi_{F_2}(x)$ принимает отрицательные значения на всем интервале $(\lambda_{F_2}, 0)$, поэтому мы достаточно свободны в выборе λ . Конкретное значение будет указано позже. ◀

Выполняя композиции с покрытиями матрицы A , мы будем отслеживать перераспределение спектрального веса множества прямоугольников между множествами I_k . При этом мы будем руководствоваться *принципом «ошибки вправо»*. Это значит, что: (а) мы допускаем ошибочное отнесение прямоугольника к множеству I_k с более высоким индексом k , но не наоборот; (б) оценка распределения веса покрытия $A \otimes R$ выполняется только на основании принадлежности прямоугольника R тому или иному множеству I_k . Как следствие, распределение спектрального веса покрытия, полученное в результате серии шагов оценочным образом (с возможными ошибками вправо), будет отличаться от истинного распределения только тем, что некоторые прямоугольники будут ошибочно помещены в множества I_k с большими индексами.

Перераспределение спектрального веса множества прямоугольников при композиции с покрытиями F/F^T описывается (с возможной ошибкой вправо) коэффициентами многочлена Лорана, получаемого из (6):

$$P_F(x) = \sum_{i \in \mathbb{Z}} \beta_i x^i = \frac{\sigma(R_1)}{\sigma(F)} x^{\lfloor \log_\tau(a_1/b_1) \rfloor} + \dots + \frac{\sigma(R_s)}{\sigma(F)} x^{\lfloor \log_\tau(a_s/b_s) \rfloor}. \quad (7)$$

Это значит, что для $R \in I_m$ (спектральный) вес прямоугольников из $(F/F^T) \otimes R$ распределяется так: доля β_k принадлежит множеству I_{m-k} в случае $m - k > 0$, и множеству I_0 , иначе.

► Для покрытия F_2 при выборе $\tau = 4$ получаем $P_{F_2}(x) = \frac{2x+2+\sqrt{3}x^{-1}}{4+\sqrt{3}}$. Диаграмма переходов изображена на рис. 2. ◀

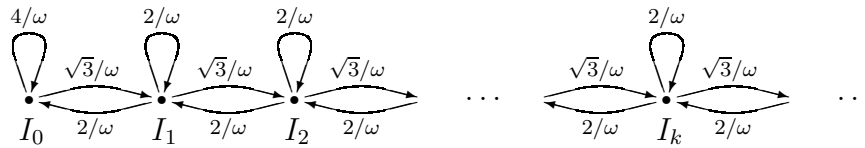


Рис. 2: Диаграмма перераспределения спектрального веса при композиции с покрытием F_2/F_2^T (здесь $\omega = \sigma(F_2) = 4 + \sqrt{3}$)

Пусть $p_k(t)$ означает долю спектрального веса построенного покрытия матрицы $A^{\otimes t}$, относящуюся к множеству I_k . В начале имеем $p_0(0) = 1$ и $p_k(0) = 0$ при $k > 0$. Положим $\nu = \tau^\lambda$. Ввиду (6), $P_F(\nu) \leq 1$. Обозначим $d = \deg P_F = \max_{\beta_i > 0} |i|$.

Покажем, что распределение $\{p_k^*(t)\}$, где $p_k^*(t) = \nu^k$ при $k \leq dt$ и $p_k^*(t) = 0$ при $k > dt$, является мажорантой для $\{p_k(t)\}$, т.е. величины $p_k^*(t)$ являются верхними оценками для компонент некоторого распределения $\{p'_k(t)\}$, получаемого из $\{p_k(t)\}$ сдвигом части распределения вправо (из компонент с меньшими индексами в компоненты с большими индексами)⁷.

Очевидно, в момент $t = 0$ условие мажорирования выполнено. Проверим индуктивный переход: применим композицию с F/F^T к множеству прямоугольников с распределением $\{p_k^*(t)\}$. Прямоугольников из I_k , где $k > d(t+1)$, при этом не возникает. В случае $0 < k \leq d(t+1)$ вес группы прямоугольников из I_k после преобразования оценивается сверху как

$$\sum_{i \in \mathbb{Z}} \beta_i \nu^{k+i} = \nu^k P_F(\nu) \leq \nu^k. \quad (8)$$

В случае $k = 0$ такая оценка, вообще говоря, неверна, т.к. в I_0 дополнительно остается значительная часть веса.

Однако, если I_0 получает избыток веса, то множества I_1, I_2, \dots (в общем случае) имеют его дефицит, как следует из (8). Таким образом, мы можем перераспределить избыточный вес из I_0 в другие множества, допуская ошибку вправо. Это возможно, поскольку относительный суммарный вес (сумма компонент распределения) сохраняется при композиции.

Как следствие, после t шагов композиции с покрытиями F/F^T , в множестве I_k сосредоточено не более ν^k от общего веса $\sigma^t(F)$ построенного покрытия матрицы $A^{\otimes t}$ (с точностью до ошибок вправо).

► В примере с матрицей D_4 мы можем выбрать $\nu = \sqrt{3}/2$ (это корень многочлена $P_{F_2}(x)$). Такой выбор позволяет не прибегать к перераспределению веса из I_0 . Распределение $\{1, \nu, \nu^2, \dots, \nu^k, \dots\}$ является стационарным для диаграммы рис. 2. Косвенным образом мы выбрали $\lambda = \log_4 \nu > \lambda_{F_2}$. ◀

II. Перераспределение веса при композиции с покрытиями G/G^T описывается (с допустимой ошибкой вправо) многочленом

$$P_G(x) = \alpha_l x^l + \dots + \alpha_1 x + \alpha_0 = \frac{1}{\sigma(G)} \sum_{R \in G} \sigma(R) x^{\lfloor \log_\tau \rho(R) \rfloor}.$$

Для $R \in I_m$ спектральный вес прямоугольников из $(G/G^T) \otimes R$ распределяется так: доля α_k принадлежит множеству I_{m-k} в случае $k < m$, и множеству I_0 , иначе.

⁷Хотя распределение $\{p_k(t)\}$ является вероятностным, от мажоранты $\{p_k^*(t)\}$ мы этого не требуем, допуская чтобы сумма компонент распределения была больше 1. Нашей задачей является лишь получение верхних оценок на $p_k(t)$.

► Для покрытия G_2 при $\tau = 4$ можно выбрать (с ошибкой вправо) $P_{G_2}(x) = (x+2)/3$. Перераспределение веса под действием покрытий G_2/G_2^T описывается диаграммой рис. 3. ◀

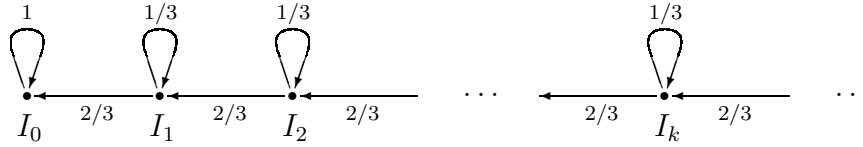


Рис. 3: Диаграмма перераспределения спектрального веса при композиции с покрытием G_2/G_2^T

Таким образом, если в начальный момент времени распределение спектрального веса записывалось как $q_m(0) = 1$, $q_i(0) = 0$ при всех $i \neq m$ (т.е. все прямоугольники находятся в I_m), то после t итераций композиции с покрытиями G/G^T распределение примет вид⁸

$$q_{m-k}(t) = \sum_{\substack{k_1+\dots+k_l \leq t \\ k_1+2k_2+\dots+lk_l=k}} C_t^{k_1, \dots, k_l} \alpha_1^{k_1} \cdot \dots \cdot \alpha_l^{k_l} \alpha_0^{t-(k_1+\dots+k_l)}, \quad (9)$$

при $0 \leq k < m$. Долю, приходящуюся на I_0 , оценим просто как $q_0(t) \leq 1$. Примем соглашение, что если $\alpha_i = 0$, то $k_i = 0$, и соответствующий множитель $\alpha_i^{k_i}$ в (9) равен 1. Это замечание будет подразумеваться в последующих выкладках. Общий вес (рассматриваемой части) покрытия за t шагов увеличится в $\sigma^t(G)$ раз.

Заметим, что $P_G(1/\sqrt{\tau}) = \pi_G(\tau)$, см. (4). Напомним, что $\pi_G(x) \rightarrow \mu_G$ при $x \rightarrow 1$. Окончательно выбираем параметр τ (достаточно малым) так, чтобы неравенство (5) сохранялось при подстановке λ вместо λ_F и $\pi_G(\tau)$ вместо μ_G .

Отметим, что при таком выборе $\alpha_0 \neq 1$, иначе $\pi_G(\tau) \equiv 1$, поэтому неравенство (5) не может быть удовлетворено. С другой стороны, $\mu_G < 1$ ввиду компактности покрытия G (найдется прямоугольник $R \in G$, для которого $\rho(R) > 1$).

III. Теперь опишем сам алгоритм синтеза, а именно, правило комбинации покрытий F и G . Выберем γ из условия

$$-\frac{1}{\lambda} \log_{\tau} \frac{\sigma(G)}{\sigma(F)} < \gamma \leq -2 \log_{\tau} \pi_G(\tau). \quad (10)$$

⁸Обозначение $C_t^{k_1, \dots, k_l}$ используется для мультиномиального коэффициента — это число способов выбрать из t элементов l групп, в i -й группе — k_i элементов.

Такое γ существует, т.к. неравенство между левой и правой частями (10) эквивалентно неравенству (5) с подстановкой λ вместо λ_F и $\pi_G(\tau)$ вместо μ_G (следует взять логарифм по основанию τ от (5) и разделить на λ).

Для построения покрытия матрицы $A^{\otimes n}$ отведем два множества прямоугольников, \mathcal{F} и \mathcal{G} .

- (i) Перед началом работы алгоритма множество \mathcal{G} пусто, множество \mathcal{F} содержит прямоугольник размера 1×1 (тривиальное покрытие матрицы $A^{\otimes 0}$).
- (ii) Далее выполняем n однотипных шагов. Шаг t заключается в следующем:
- используя подходящее покрытие F или F^T , каждый прямоугольник $R \in \mathcal{F}$ преобразуем в $(F/F^T) \otimes R$;
 - используя подходящее покрытие G или G^T , каждый прямоугольник $R \in \mathcal{G}$ преобразуем в $(G/G^T) \otimes R$;
 - все прямоугольники $R \in \mathcal{F}$, принадлежащие множествам I_m с номерами $m \geq \gamma(n-t)$, перемещаем из \mathcal{F} в \mathcal{G} .
- (iii) По построению, после t шагов множество $\mathcal{F} \cup \mathcal{G}$ является покрытием матрицы $A^{\otimes t}$. В конце работы алгоритма множество \mathcal{F} пусто, а множество \mathcal{G} является покрытием $A^{\otimes n}$.

По существу, это и есть алгоритм [1]. Параметр γ управляет переключением между двумя стадиями алгоритма. Проверим, что покрытие \mathcal{G} имеет требуемую сложность.

При любом m прямоугольники из I_m отправляются из \mathcal{F} в \mathcal{G} не более чем на $\frac{d}{\gamma} + 2 = O(1)$ (последовательных) итерациях, а именно, пока $m - d < \gamma(n-t) \leq m$ и еще один раз, когда $m - d \geq \gamma(n-t)$. На последующих шагах прямоугольников в I_m не возникает.

Перейдем к оценкам сложности. Сложность прямоугольника $R \in I_m$ оценивается тем выше относительно спектрального веса, чем больше m : напомним, что $w(R) \asymp \sqrt{\rho(R)}\sigma(R)$. Поэтому ошибочное отнесение прямоугольника к множеству с более высоким номером (ошибка вправо) приводит к завышению оценки сложности.

Сложность части покрытия, построенного из прямоугольников, относившихся к I_m при перемещении в \mathcal{G} , теперь оценивается сверху как

$$L_m \preceq \sigma^n(F) \nu^m \left(\frac{\sigma(G)}{\sigma(F)} \right)^{\frac{m}{\gamma}} \cdot \left(1 + \sum_{k_1 + \dots + k_l \leq \frac{m}{\gamma}} C_{\frac{m}{\gamma}}^{k_1, \dots, k_l} \alpha_1^{k_1} \cdot \dots \cdot \alpha_l^{k_l} \alpha_0^{\frac{m}{\gamma} - (k_1 + \dots + k_l)} \tau^{\frac{m - (k_1 + 2k_2 + \dots + lk_l)}{2}} \right). \quad (11)$$

Здесь первый множитель $\sigma^n(F)$ — это ожидаемый вес общего покрытия в предположении выполнения композиции с покрытиями F/F^T . Второй множитель ν^m — это оценка доли веса покрытия, приходящейся на множество I_m на первой стадии алгоритма (до перемещения в \mathcal{G}). Третий множитель отвечает росту веса рассматриваемой части покрытия за счет применения покрытий типа G вместо F на заключительных $m/\gamma - O(1)$ шагах алгоритма. Дополнительный множитель в скобках учитывает финальное распределение спектрального веса. А именно, слагаемое 1 отвечает сложности прямоугольников из I_0 , а под знаком суммы записаны произведения частичных долей веса покрытия после m/γ композиций с G/G^T , приходящихся на множество I_{m-k} , где $k = k_1 + 2k_2 + \dots + lk_l$ (см. (9)), и оценки $\tau^{\frac{m-k}{2}}$ отношения сложности прямоугольников из I_{m-k} к спектральному весу (слагаемые, для которых $m \leq k$, в сумме лишние).

Мультиномиальные коэффициенты удовлетворяют стандартному неравенству⁹

$$C_n^{k_1, \dots, k_l} \leq 2^{nH(k_1/n, \dots, k_l/n)}, \quad \text{где}$$

$$H(x_1, \dots, x_l) = - \sum_{i=1}^l x_i \log_2 x_i, \quad x_0 = 1 - \sum_{i=1}^l x_i, \quad -$$

определенная на l -мерном симплексе $\mathbb{R}_+^l \cap \{x_1 + \dots + x_l \leq 1\}$ функция двоичной энтропии¹⁰.

Несложно проверить, что при любых $c_i > 0$ выполнено

$$H(x_1, \dots, x_l) + \sum_{i=1}^l x_i \log_2 c_i \leq \log_2 \left(1 + \sum_{i=1}^l c_i \right). \quad (12)$$

Это простое следствие варианта неравенства Гёльдера

$$\prod_{i=1}^l a_i^{b_i} \leq \sum_{i=1}^l a_i b_i,$$

справедливого при $a_i, b_i > 0$ и $\sum b_i = 1$, см. [5, Ch. V] (достаточно подставить $b_i = x_i$, $a_i = c_i/x_i$, где $c_0 = 1$, и взять логарифм; в случае $x_i = 0$ — использовать предельный переход).

⁹Легко проверяется индукцией по l , исходя из широко известного соотношения $C_n^k \leq 2^{nH(k/n)}$.

¹⁰На границе функция доопределяется по непрерывности.

Полагая $k_i = \frac{x_i m}{\gamma}$ для $i = 1, \dots, l$ и применяя (12), получаем оценку

$$\begin{aligned} \log_2 \left(C_0^{\frac{m}{\gamma}} \alpha_1^{k_1} \cdot \dots \cdot \alpha_l^{k_l} \alpha_0^{\frac{m}{\gamma} - (k_1 + \dots + k_l)} \tau^{\frac{m - (k_1 + 2k_2 + \dots + lk_l)}{2}} \right) \leq \\ \frac{m}{\gamma} \left(H(x_1, \dots, x_l) + \sum_{i=1}^l x_i \log_2 \frac{\alpha_i}{\alpha_0 \tau^{i/2}} + \log_2 (\alpha_0 \tau^{\gamma/2}) \right) \leq \\ \frac{m}{\gamma} \cdot \left(\log_2 \left(\sum_{i=0}^l \frac{\alpha_i}{\tau^{i/2}} \right) + \log_2 (\tau^{\gamma/2}) \right). \end{aligned}$$

Таким образом,

$$L_m \preceq \sigma^n(F) \left(C_0^{\frac{m}{\gamma}} + m^l C_1^{\frac{m}{\gamma}} \right), \quad \text{где}$$

$$C_0 = \frac{\sigma(G) \nu^\gamma}{\sigma(F)}, \quad C_1 = C_0 \cdot P_G(1/\sqrt{\tau}) \cdot \tau^{\gamma/2}.$$

Здесь степени C_0 отвечают вкладу в сложность прямоугольников из I_0 , а степени C_1 — вкладу остальных прямоугольников построенного покрытия.

Проверим, что $C_1 \leq C_0 < 1$. Действительно, в случае $\sigma(G) = \sigma(F)$ неравенство $C_0 = \nu^\gamma < 1$ выполняется тривиально. В случае $\sigma(G) > \sigma(F)$ из левой части (10) вытекает

$$C_0 = \frac{\sigma(G)}{\sigma(F)} \tau^{\lambda\gamma} < 1.$$

Далее, из правой части (10) следует $\tau^{\gamma/2} \leq 1/\pi_G(\tau)$, откуда получаем $C_1 \leq C_0$.

► В примере $A = D_4$ можно выбрать $\gamma = 1/5$. Тогда $C_0 < 0.99$ и $C_1 < 0.95$. ◀

Окончательно имеем

$$L_2(A^{\otimes n}) \preceq w(\mathcal{G}) = \sum_{m \geq 0} L_m \preceq \sigma^n(F) \sum_{m \geq 0} \left(C_0^{\frac{m}{\gamma}} + m^l C_1^{\frac{m}{\gamma}} \right) \asymp \sigma^n(F). \quad \blacksquare$$

Резерв для совершенствования метода — более тонкое комбинирование двух типов покрытий, с возможностью возврата прямоугольников из \mathcal{G} в \mathcal{F} .

3 Покрытия матриц Кнезера—Серпинского

Для произвольной матрицы D_r , $r = 2^t$, построим компактное покрытие F_t , состоящее исключительно из прямоугольников ширины 1, обобщая примеры рис. 1 (для $t = 2$) и [1] (для $t = 3$).

Воспользуемся простым вариантом градиентного метода. Сначала поместим в F_t столбец матрицы D_r с индексом \emptyset , затем — строку с индексом \emptyset оставшейся части матрицы. Далее мы последовательно извлекаем единицы из всех столбцов, а затем из всех строк, помеченных множествами мощности 1. Такую же процедуру проделаем со столбцами и, затем, со строками, помеченными множествами мощности 2, и так до тех пор, пока не дойдем до множеств мощности $t/2$. После этого все единицы матрицы D_r будут накрыты.

Обозначим через $s(m, k)$ биномиальную сумму

$$s(m, k) = C_m^k + C_m^{k+1} + \dots + C_m^m.$$

По построению, прямоугольник, соответствующий столбцу с индексом-множеством мощности k , имеет высоту $s(t - k, k)$, а длина прямоугольника, соответствующего строке с индексом-множеством мощности k , равна $s(t - k, k + 1)$. Поэтому

$$\sigma(F_t) = \sum_{k=0}^{t/2} C_t^k \left(\sqrt{s(t - k, k)} + \sqrt{s(t - k, k + 1)} \right).$$

Непосредственный расчет показывает, что величина $\log_r \sigma(F_t)$ достигает минимального значения 1.2502... при $t = 18$, а при $t \rightarrow \infty$, как нетрудно проверить, стремится к пределу 1.259...

В качестве корректирующего покрытия G_t возьмем покрытие столбцов матрицы D_r индивидуальными прямоугольниками, как на рис. 1. Легко видеть, что $\sigma(G_t) = (\sqrt{2} + 1)^t$ и $\mu_{G_t} = \left(\frac{2}{\sqrt{2}+1} \right)^t$.

Используя пару покрытий F_t, G_t , удовлетворить условиям теоремы 1 оказывается возможным только при $t \leq 15$. Непосредственно проверяется, что $\sigma(F_{15}) < 442412$ и $\lambda_{F_{15}} < -0.04$.

Следствие 1. $\text{SUM}_2(D_N) \preceq N^{\log_2 15 \sigma(F_{15})} \prec N^{1.251}$.

Несколько неожиданно то, что покрытия матриц D_r прямоугольниками ширины 1 оказываются эффективными для итерационного процесса. Конечно, они не являются оптимальными по спектральному весу: по крайней мере, при $t \geq 7$ можно строить лучшие покрытия, объединяя общие части групп строк или столбцов.

Автор признателен Стасису Юкне за полезные комментарии.

Список литературы

- [1] Alman J., Guan Y., Padaki A. Smaller low-depth circuits for Kronecker powers. 2022. arXiv:2211.05217v1.

- [2] Chistikov D., Iván S., Lubiw A., Shallit J. Fractional coverings, greedy coverings, and rectifier networks. Proc. STACS (Hannover, 2017). LIPIcs. 2017. **66**, Art. 23.
- [3] Jukna S., Sergeev I. Complexity of linear boolean operators. Foundations and Trends in Theoretical Computer Science. 2013. **9**(1), 1–123.
- [4] Langer R. E. On the zeros of exponential sums and integrals. Bulletin AMS. 1931. **37**, 213–239.
- [5] Mitrinović D. S., Pečarić J. E., Fink A. M. Classical and new inequalities in analysis. Dordrecht–Boston–London: Kluwer, 1993.